

관측행렬에 대한 전처리 Cholesky-Factor Downdating 기법

김 석 일[†] · 이 충 한^{††} · 전 중 남^{†††}

요 약

본 논문에서는 다행관측행렬 Z^T 를 빠르게 downdating하기 위하여 Z^T 의 partial Cholesky factor R_Z 를 계산하는 전처리 과정을 거친 후, R_Z 에 각각 기존의 GD(Givens Downdating)기법과 HD(Hyperbolic Downdating)기법을 적용한 PGD(Preprocessed GD)기법과 PHD(Preprocessed HD)기법을 제안하였다. $p \times n (p \geq n)$ 크기의 다행관측행렬 Z^T 를 downdating하는 데 필요한 시간복잡도는 PGD 및 PHD기법을 이용한 downdating의 경우에 각각 $pn^2 + 5n^3/6$ 및 $pn^2 + n^3/3$ flops이며, 기존의 GD기법 또는 HD기법을 이용한 downdating에서는 각각 $5pn^2/2$ 과 $2pn^2$ flops이므로 다행관측행렬 Z^T 를 partial Cholesky factor R_Z^T 로 분할하는 전처리 과정이 downdating알고리즘의 성능을 개선할 수 있음을 보여준다. Sun SPARC/2 시스템에서의 벤치마크 실험 결과도 전처리 과정을 거친 알고리즘의 실행 속도가 전처리 과정을 거치지 않은 알고리즘에 비하여 빠른 결과를 얻었으며, 두 가지 전처리 기법 중에서도 PHD 기법이 PGD 기법보다 시간복잡도 측면에서 우수하였다.

Preprocessed Cholesky-Factor Downdatings for Observation Matrices

Sukil Kim[†] · Chung-Han Lee^{††} · Joong-Nam Jeon^{†††}

ABSTRACT

This paper introduces PGD(Preprocessed Givens Downdating) and PHD(Preprocessed Hyperbolic Downdating) algorithms, wherein a multiple-row observation matrix Z^T is factorized into a partial Cholesky factor R_Z , such that $Z^T = Q_Z R_Z$, $Q_Z Q_Z^T = I$, and then R_Z is recursively downdated by using GD(Givens Downdating) and HD(Hyperbolic Downdating), respectively. Time complexities of PGD and PHD algorithms are $pn^2 + 5n^3/6$ and $pn^2 + n^3/3$ flops, respectively, if $p \geq n$, while those of the existing GD and HD are known to be $5pn^2/2$ and $2pn^2$ flops, respectively. This concludes that the factorization of observation matrices, which we call *preprocessing*, would improve the overall performance of the downdating process. Benchmarks on the Sun SPARC/2 system also show that preprocessing would shorten the required downdating times compared to those of downdatings without preprocessing. Furthermore, benchmarks also show that PHD provides better performance than PGD.

이 과제는 한국과학재단의 94년도 목적기초연구과제로 수행되었음.

[†] 종신회원: 충북대학교 컴퓨터과학과 부교수

^{††} 준 회원: 충북대학교 컴퓨터과학과

^{†††} 종신회원: 충북대학교 컴퓨터과학과 조교수

논문접수: 1995년 7월 26일, 심사완료: 1995년 12월 29일

1. 서 론

신호처리에 적용되는 공통적인 문제는 X 가 $m \times n$ ($m > n$) 행렬이며, s 가 $m \times 1$ 벡터, w 가 $n \times 1$ 벡터인 선형대수식 $Xw = s$ 의 최소자승해

$$\min \|s - Xw\|_2 \tag{1}$$

를 계산하는 문제로 귀결된다[1].

X 의 rank가 n 이라고 하고 확대행렬 ($X \ s$)에 QR-분할을 적용하면,

$$Q^T(X \ s) = \begin{pmatrix} R & u \\ 0 & \rho \\ 0 & 0 \end{pmatrix}, \quad QQ^T = I. \tag{2}$$

따라서 식(1)을 만족하는 해 w 는 식(2)를 만족하는 직교변환(orthogonal factorization) Q 를 계산하고, 이어서 삼각연립방정식 $Rw = Q^T s$ 의 해를 구하는 일련의 과정을 거쳐 계산할 수 있다.

마찬가지로 확대행렬 ($X \ s$)에 관측치 ($z^T \ \sigma$)이 순차적으로 입력되어 첨가되거나, ($\tilde{X} \ \tilde{s}$)로부터 ($z^T \ \sigma$)이 순차적으로 제거되는 경우에도 변경된 확대행렬 ($\tilde{X} \ \tilde{s}$)로부터

$$\min \|\tilde{s} - \tilde{X}\tilde{w}\|_2 \tag{3}$$

를 만족하는 새로운 해 \tilde{w} 를 계산하는 방법도 식(2)와 같이 ($\tilde{X} \ \tilde{s}$)의 직교변환을 취하여 계산할 수 있다. 여기서 관측치 ($z^T \ \sigma$)이 확대행렬 ($X \ s$)에 첨가되는 updating의 경우에는

$$\tilde{X} = \begin{pmatrix} X \\ z^T \end{pmatrix}, \quad \tilde{s} = \begin{pmatrix} s \\ \sigma \end{pmatrix}.$$

관측치 ($z^T \ \sigma$)이 확대행렬 ($X \ s$)로부터 제거되는 down-dating의 경우에는

$$X = \begin{pmatrix} \tilde{X} \\ z^T \end{pmatrix}, \quad s = \begin{pmatrix} \tilde{s} \\ \sigma \end{pmatrix}.$$

그런데 행렬 X 에 관측치 ($z^T \ \sigma$)가 첨가된 경우나 탈

락한 경우, Cholesky factor \tilde{R} 은 R 과 z^T 로부터 계산할 수 있다. 즉, updating의 경우에는,

$$\tilde{R}^T \tilde{R} = R^T R + zz^T.$$

마찬가지로 down-dating의 경우에도 R 과 z^T 로부터 새로운 Cholesky factor \tilde{R} 을 계산할 수 있다. 즉,

$$\tilde{R}^T \tilde{R} = R^T R - zz^T.$$

따라서 rank n 인 행렬 X 에 하나의 관측치가 첨가되거나 제거되는 문제는 rank 1이 변경된 Cholesky factor R 의 updating이나 down-dating으로 간주할 수 있다. 따라서 행렬 X 에 대한 Cholesky factor R 이 존재한다면, 관측치 ($z^T \ \sigma$)가 첨가된 경우나 제거된 경우, X 보다는 R 을 이용하여 새로운 Cholesky factor \tilde{R} 을 빠르게 계산할 수 있다. 이러한 방법을 각각 CFU (Cholesky Factor Updating) 및 CFD(Cholesky Factor Down-dating)라고 한다[4-6, 8, 13-15].

그 중에서도 CFD는 관측치가 연속적으로 입력되는 신호처리 장치에서 하나의 관측치에 대하여 down-dating을 반복적으로 수행하는 경우에 자주 사용되는 알고리즘이다[1]. 그 예로는 speech echo cancellation, speech coding 및 adaptive radar signal processing 등이 있다. 이러한 시스템에서 사용될 수 있는 down-dating 기법은 실시간 처리를 위하여 가급적 요구되는 연산의 수가 적어야 하며, 또한 계산 결과로 얻은 해의 정확도가 높아야 한다[1].

단위 시간당 p 개의 관측치가 주기적으로 입력되는 시스템에서 식(2)의 QR-분할법을 반복적으로 이용하는 알고리즘은 단위 시간당 처리하는 연산 능력이 $O(pnm^2)$ flops이어야 한다. 이에 비하여 CFD기법[6, 8]은 rank 1 down-dating을 반복적으로 수행하는 알고리즘으로, 단위 시간당 처리하는 연산 능력이 $O(pn^2)$ flops이면 충분하다. 따라서 CFD기법을 이용하는 시스템은 QR-분할법을 이용하는 시스템에 비하여 단위 시간당 처리할 수 있는 연산 능력이 $1/m$ 배인 컴퓨터를 사용할 수 있다.

만일 시스템을 구성하고 있는 컴퓨터의 단위시간당 처리할 수 있는 연산능력이 낮은 경우에는 여러 개의 관측치를 모아서 한 번에 처리하여야 한다. 이

러한 경우에는 여러 개의 관측치를 한번에 처리해야 하며, 이 것을 다행관측치의 downdating이라고 한다 [2, 13].

다행관측행렬의 downdating 기법은 기본적으로 CFD를 반복적으로 수행하는 방법이 사용되어 왔으나, Lee[2] 등은 다행관측행렬을 전처리 함으로써 필요로 하는 단위시간당 처리할 수 있는 연산 능력을 낮출 수 있음을 밝힌바 있다. 즉, p 개의 관측치가 블록을

$$\text{이루는 다행관측행렬 } (Z^T \sigma) = \begin{pmatrix} z_1^T & \sigma_1 \\ z_2^T & \sigma_1 \\ \vdots & \vdots \\ z_p^T & \sigma_p \end{pmatrix} \text{가 행렬 } (X \ s)$$

로부터 제거된 확대행렬 ($\tilde{X} \ \tilde{s}$)은

$$\tilde{X}^T \tilde{X} = R^T R - Z Z^T$$

이므로

$$\tilde{R}^T \tilde{R} = R^T R - Z Z^T. \tag{4}$$

관측행렬 Z^T 의 partial Cholesky factor(3.1절 참조)를 R_Z 이라고 하면

$$Z^T = Q_Z R_Z, \quad Q_Z^T Q_Z = I, \tag{5}$$

따라서 식(4)로부터

$$\tilde{R}^T \tilde{R} = R^T R - Z Z^T = R^T R - R_Z^T R_Z. \tag{6}$$

즉, 새로운 Cholesky factor \tilde{R} 은 식(6)과 같이 다행관측행렬의 partial Cholesky factor인 R_Z 와 이전의 Cholesky factor R 로부터 계산할 수 있다. 이 과정에서 R_Z 의 대각원소 아래는 모두 0이므로 CFD 기법을 변형하여 이들 원소에 대한 downdating 계산을 배제하면 시스템이 필요로 하는 연산 횟수가 크게 감소한다.

본 논문에서는 Lee[2]의 연구 결과를 토대로 Givens rotation을 이용한 CFD 기법[4, 6, 15]과 hyperbolic rotation을 이용한 CFD 기법[3, 5, 7]을 수행하기에 앞서 식(5)를 만족하는 다행관측행렬 Z^T 의 partial Cholesky factor R_Z 를 계산하는 전처리과정을 거쳐 R_Z 의 0

이 아닌 원소에 대해서만 downdating을 수행하는 빠른 CFD기법을 제안하였다.

본 논문의 구성은 다음과 같다. 제 2 장에서는 rank 1 downdating을 수행하는 CFD기법으로 Givens rotation을 이용하는 GD(Givens Downdating)과 직교변환(pseudo-orthogonal)을 이용하는 HD(Hyperbolic Downdating) 알고리즘을 소개하였으며, 제 3 장에서는 다행관측행렬 Z^T 의 partial Cholesky factor R_Z 를 계산하기 위한 기법으로 Householder updating [10, 12]을 소개하고 그 결과로 계산된 partial Cholesky factor의 0이 아닌 원소에 대해서만 downdating이 가능하도록 GD기법과 HD기법을 변형한 PGD(Preprocessed GD) 및 PHD(Preprocessed HD) 기법을 제안하였다. 제 4장에서는 본 논문에서 제안한 PGD와 PHD기법의 시간복잡도를 비교하였으며, Sun SPARC 시스템에서 계산에 필요한 시간을 측정하여 이론적인 시간복잡도와 비교하였다. 마지막으로 제 5장에서 는 본 연구의 결과를 제시하였다.

2. 다행관측행렬의 Downdating

단위 시간당 입력되는 p 개의 관측치 행벡터 $z_k^T (k = 1, 2, \dots, p)$ 를 하나의 다행관측행렬 $Z^T = (z_1 \ z_2 \ \dots \ z_p)^T$ 로 구성하고 이를 downdating하는 기존의 CFD 기법은 단위 시간당 rank 1 downdating을 p 번 반복적으로 수행한다. 여기서 $m \times n$ 행렬 X_k 와 $n \times n$ 인 상삼각행렬 R_k 를 각각 Z^T 의 $k-1$ 번째 행 z_{k-1}^T 을 rank 1 downdating을 수행한 결과라고 가정한다.

2.1 직교변환을 이용한 Downdating

직교변환을 이용한 downdating은 X_k 의 QR-분할의 결과로 얻어진 상삼각행렬 R_k 와 관측치 z_k^T 로부터 R_{k+1} 을 계산하는 방법으로, 그 과정 중에서 Givens rotation이 반복적으로 적용되므로 본 논문에서는 이를 GD(Givens Downdating) 기법[4]이라고 부른다.

관측행렬 Z^T 의 k 번째 행 z_k^T 을 downdating할 때의 관측행렬은

$$X_k = \begin{pmatrix} X_{k+1} \\ z_k^T \end{pmatrix}, \quad X_1 \equiv X.$$

이 된다. 또한, $(X_k \ s_k)$ 의 직교변환을 Q_k 라고 하면,

$$(X_k \ S_k) = \begin{pmatrix} X_{k+1} & S_{k+1} \\ z_k^T & \sigma_k \end{pmatrix} = Q_k \begin{pmatrix} R_k & u_k \\ 0 & \rho_k \\ 0 & 0 \end{pmatrix} \quad (7)$$

이다. 따라서 행렬 $E = \begin{pmatrix} 0_{m-1} \\ 1 \end{pmatrix}$ 을 $(X_k \ S_k)$ 의 좌측에 포함시키면 다음의 식이 성립한다.

$$Q_k^T (E \ X_k \ S_k) = Q_k^T \begin{pmatrix} 0_{m-1} & X_{k+1} & S_{k+1} \\ 1 & z_k^T & \sigma_k \end{pmatrix} = \begin{pmatrix} q_1^k & R_k & u_k \\ \phi^k & 0 & \rho_k \\ q_2^k & 0 & 0 \end{pmatrix}$$

여기서 $q_k^T \equiv ((q_1^k)^T \ \phi^T(q_2^k)^T)$ 는 Q_k 의 마지막 행으로 구성된 행렬이다. 따라서 q_k^T 의 j 번째 원소를 0으로 만들면서 q_k^T 의 마지막(m 번째) 원소를 갱신하기 위한 평면(j, m)간의 Givens rotation을 $G_j(j=1, 2, \dots, m-1)$ 라고 하면 $(z_k^T \ \sigma_k)$ 를 downdating하는 직교변환 U_k 는 다음과 같이 계산할 수 있다. 즉,

$$U_k \begin{pmatrix} q_1^k & R_k & u_k \\ \phi^k & 0 & \rho_k \\ q_2^k & 0 & 0 \end{pmatrix} = \begin{pmatrix} 0 & R_{k+1} & u_{k+1} \\ 0 & 0 & \rho_{k+1} \\ 1 & z_k^T & \sigma_k \end{pmatrix} \quad (8)$$

$U_k = G_1 \ G_2 \ \dots \ G_{m-1}$.

식(8)에서 U_k 를 계산하기 위해서는 m 회의 Givens rotation이 필요하나, q_2^k 의 우측에 있는 원소가 모두 0

// Let $R_1 \equiv R$;

1. for $k=1, 2, \dots, p$

1.1 Solve triangular system $R_k^T q_k = z_k$;

1.2 Compute $\rho_k = \sqrt{1 - q_k^T q_k}$;

1.3 Determine an orthogonal Givens rotation $G_i, (i=n, n-1, \dots, 1)$ of order $n+1$ so that

$$G_1 \ \dots \ G_{n-1} \ G_n \begin{pmatrix} q_k \\ \rho_k \end{pmatrix} = \begin{pmatrix} 0 \\ \vdots \\ 0 \\ 1 \end{pmatrix};$$

1.4 Compute $G_1 \ \dots \ G_{n-1} \ G_n \begin{pmatrix} R_k \\ 0 \end{pmatrix} = \begin{pmatrix} R_{k+1} \\ z_k^T \end{pmatrix}$;

(그림 1) GD 기법
(Fig. 1) GD algorithm

이므로 실제로는 n 회의 rotation이 필요하다[6,8,14]. 따라서 (그림 1)의 알고리즘과 같이 rank 1 downdating을 $z_1^T, z_2^T, \dots, z_p^T$ 에 대하여 순차적으로 적용하면, 다행관측행렬 Z^T 에 대한 downdating 결과를 얻을 수 있다.

(그림 1)에서 downdating이 종료되면 다행관측행렬 Z^T 에 의하여 갱신된 Cholesky factor는 $\tilde{R} \equiv R_{p+1}$ 이다. (그림 1)에서 GD기법은 전체적으로 pn 회의 Givens rotation을 필요로 하며, 따라서 필요한 연산의 횟수는 $\frac{5}{2} pn^2$ flops이다.

2.2 가상 직교변환에 의한 Downdating

Golub [3]이 제안한 가상 직교변환(pseudo-orthogonalization)은 $S = \text{diag}(I_n, -1)$ 에 대하여 $H^T S H = S$ 를 만족하는 행렬 H 이며, 가상 직교변환 H 를 이용하면 간단히 rank 1 downdating을 수행할 수 있다. 특히 2×2 크기의 가상 직교변환

$$H = \begin{pmatrix} \cosh \theta & -\sinh \theta \\ -\sinh \theta & \cosh \theta \end{pmatrix}$$

를 hyperbolic rotation이라고 하며, hyperbolic rotation을 이용한 downdating 기법을 HD(Hyperbolic Downdating) 기법이라고 부른다[1, 5, 7].

HD 기법을 이용한 downdating 알고리즘은 (그림 2)와 같다.

(그림 2)에서 $H^T S H = S = \text{diag}(I_n, -1)$ 이므로 R_{k+1} 는 z_k^T 로 인하여 R_k 을 downdating한 결과임을 알 수

// Let $R_1 \equiv R$;

1. for $k=1, 2, \dots, p$

1.1 Construct and apply a sequence of hyperbolic plane rotation matrices $H_i, (i=n, n-1, \dots, 1)$ of order $n+1$ so that

$$H_n \ \dots \ H_2 \ H_1 \begin{pmatrix} R_k \\ z_k^T \end{pmatrix} = \begin{pmatrix} R_{k+1} \\ 0 \end{pmatrix},$$

where H_i zeros the i -th element of the current modified vector z_k^T , modifying i th diagonal element of R_k ;

(그림 2) HD기법
(Fig. 2) HD algorithm

있다. (그림 2)의 downdating이 완료되면 다행관측행렬 Z^T 에 의하여 갱신된 Cholesky factor $\tilde{R} \equiv R_{p+1}$ 이다.

HD기법은 (그림 2)에서 알 수 있듯이 GD 기법과는 달리 삼각행렬의 해를 구하는 과정이 불필요하므로 하나의 관측행을 downdating할 때마다 GD 기법에 비하여 $\frac{1}{2} n^2$ flops의 시간복잡도가 줄어든다. 따라서 HD 기법이 요구하는 단위 시간당 연산의 시간복잡도는 $2pn^2$ flops이며, GD 기법에 비해 단위 시간당 필요한 연산의 시간복잡도가 작음을 알 수 있다[3, 5, 7]. 그러나 HD 기법은 GD 기법에 비하여 계산상의 정확도(numerical stability)가 다소 떨어지므로 정확도를 높이기 위한 노력이 강구되어야 한다[3, 7, 9].

3. 전처리 과정에 의한 성능향상

3.1 다행관측행렬의 전처리

GD와 HD는 하나의 관측행에 대한 downdating시 항상 n 회의 Givens rotation 또는 hyperbolic rotation이 필요하다. 따라서 rotation의 횟수를 줄일 수 있다면 전체적으로 알고리즘의 성능이 개선될 수 있다. 만일 관측치 벡터 z_k^T 의 첫 번째부터 v 개의 원소가 0이라고 하면,

$$z_k^T = (0 \dots 0 \times \dots \times) \equiv (0_v \ x_{n-v}). \tag{9}$$

Preprocess ($(Z^T \ \sigma)$)
 // QR-factorization of Z^T producing R_Z
 // Let $(Z^{T(0)} \ \sigma^{(0)}) = (Z^T \ \sigma)$.

1. for $j=1, 2, \dots, \min(p, n)$
 - 1.1. Determine a Householder matrix $Q_Z^{(j)}$, such that $Q_Z^{(j)} Z^{T(j-1)}$ zeros elements below the diagonal of the j th column of $Z^{T(j-1)}$, while $Q_Z^{T(j)} Q_Z^{(j)} = I$;
 - 1.2. Compute $Q_Z^{(j)} (Z^{T(j-1)} \ \sigma^{(j-1)})$ producing $(Z^{T(j)} \ \sigma^{(j)})$;

(그림 3) Householder reflection을 이용한 전처리 알고리즘 (Fig. 3) Preprocessing based on Householder reflections

그런데 z_k^T 를 downdating하는 경우에 영벡터(zero vector) 0_v 에 대해서는 rotation이 불필요하므로 rank 1 downdating을 수행하는 데 필요한 연산의 횟수가 그만큼 줄어든다.

예를 들어 GD의 경우, (그림 1)의 단계 1.1에서

$$R_k^T q_k = z_k = \begin{pmatrix} 0_v^T \\ x_{n-v}^T \end{pmatrix} \tag{10}$$

이므로 삼각연립방정식의 해

$$q_k = \begin{pmatrix} 0_v^T \\ q_k^x \end{pmatrix}$$

이다. 여기서 q_k^x 는 z_k^T 의 0이 아닌 원소로 구성된, 벡터 x_{n-v}^T 와 대응하는 원소로 구성된 벡터이다. 따라서 (그림1)의 단계 1.3에서 q_k 를 영벡터로 만들기 위한 직교변환 U_k 는 식(11)을 만족한다. 즉,

$$U_k \begin{pmatrix} q_k \\ \rho_k \end{pmatrix} = U_k \begin{pmatrix} 0_v^T \\ q_k^x \\ \rho_k \end{pmatrix} = \begin{bmatrix} 0 \\ \vdots \\ 0 \\ 1 \end{bmatrix}, \tag{11}$$

$$U_k = G_{v+1} G_{v+2} \dots G_n.$$

따라서 직교변환 U_k 를 계산하기 위해서는 $n-v$ 회의 Givens rotation이 필요하다.

마찬가지로 HD의 경우에도, $\begin{pmatrix} R_k \\ z_k^T \end{pmatrix} \equiv \begin{pmatrix} R_k^p & B_k \\ O & R_k^{n-v} \\ 0_v & x_{n-v} \end{pmatrix}$ 에서 z_k^T 의 모든 원소를 0으로 만드는 hyperbolic rotation은 $\begin{pmatrix} R_k^{n-v} \\ x_{n-v} \end{pmatrix}$ 에 대해서만 수행하면 되므로 $n-v$ 회의 hyperbolic rotation이 필요하다. 따라서 z_k^T 의 첫 번째부터 몇 개의 원소가 0이면, 그만큼 rotation의 횟수가 줄어들게 된다.

z_k^T 의 원소를 0으로 만들기 위한 방법으로 식(5)와 같이 다행관측행렬 Z^T 의 partial Cholesky factor R_Z 를 계산하고, 식(6)에 의거하여 R_Z 의 각 행에 대한 rank 1 downdating을 수행하면 전체적으로 downdating에 필요한 Givens rotation 또는 hyperbolic rotation의 수를 줄일 수 있다.

Z^T 의 Cholesky factor R_Z 를 계산하는 과정에서 Z^T 가 $p \times n$ 행렬이므로 $p \geq n$ 인 경우에는 Z^T 의 Cholesky factor R_Z 는 완전한 상삼각행렬을 이루나, $p < n$ 인 경우에는 $p \times n$ 행렬인 $R_Z = (R_{Z_1} \ \tilde{Z}_2^T)$ 의 형태가

된다. 여기서 R_{Z_1} 는 $Z^T \equiv (Z_1^T \ Z_2^T)$ 인 $p \times p$ 행렬 Z_1^T 의 Cholesky factor이며,

$$\tilde{Z}_2^T = (Q_{Z_1})^T Z_2^T, \quad Z_1^T = Q_{Z_1} R_{Z_1}, \quad (Q_{Z_1})^T Q_{Z_1} = I.$$

따라서 $p < n$ 인 경우에 R_Z 는 완전한 상삼각행렬을 이루지 못하므로 본 논문에서는 이를 partial Cholesky factor라고 정의한다.

(그림 3)은 Z^T 를 Householder reflection[13]을 이용하여 partial Cholesky factor R_Z 를 계산하는 알고리즘이다. 이 알고리즘은 j 값이 증가함에 따라 행렬 ($Z^T \ \sigma$)를 새로운 값으로 갱신하며, 계산이 종료되면 그 결과 $Z^{T(v)} \ \sigma^{(v)} = (R_Z \ \hat{\sigma})$ 가 되돌려진다. 여기서 $v = \min(p, n)$ 이다.

(그림 3)에서 함수 Preprocess가 필요로 하는 연산의 시간복잡도는 Golub[12] 및 Kim[13]으로부터

$$\begin{cases} pn^2 - \frac{1}{3} n^3 & p \geq n \\ p^2 n - \frac{1}{3} p^3 & p < n \end{cases}$$

3.2 PGD (Preprocessed GD)

(그림 3)의 Preprocess를 수행하면 다행관측행렬 Z^T 의 partial Cholesky factor R_Z 가 계산된다. 여기서 R_Z 의 k 번째 행을 ψ_k 라고 하면,

$$\psi_k \equiv (0_{k-1} \ x_{n-k}).$$

그런데 ψ_k 는 첫 번째 원소부터 $k-1$ 개의 원소가 0이므로 rank 1 downdating을 수행할 때(식 (10) 참조)

$$R_k^T q_k = \psi_k = \begin{pmatrix} 0_{k-1}^T \\ x_{n-k}^T \end{pmatrix}.$$

따라서

$$q_k = \begin{pmatrix} 0_{k-1}^T \\ q_k^x \end{pmatrix}.$$

여기서 q_k^x 는 z_k^T 의 0이 아닌 원소로 구성된 벡터 x_{n-k+1}^T 와 대응하는 원소로 구성된 벡터이다. 또한, q_k 를 영

벡터로 만들기 위한 Givens rotation은 다음 식을 만족한다(식 (11)참조). 즉,

$$U_k \begin{pmatrix} q_k \\ \rho_k \end{pmatrix} = U_k \begin{pmatrix} 0_{k-1}^T \\ q_k^x \\ \rho_k \end{pmatrix} = \begin{pmatrix} 0 \\ \vdots \\ 0 \\ 1 \end{pmatrix}, \quad U_k = G_k G_{k+1} \cdots G_n.$$

이상의 과정을 $k=1, 2, \dots, p$ 에 대하여 순차적으로 수행하여 R_Z 를 downdating하는 PGD 알고리즘은 (그림 4)와 같다.

1. Preprocess ($Z^T \ \sigma$);

$$// \text{ Let } R_Z = \begin{pmatrix} \psi_1 \\ \vdots \\ \psi_p \end{pmatrix} \text{ and } R_1 = R;$$

2. for $k=1, 2, \dots, \min(p, n)$

$$2.1 \text{ Solve triangular system } R_k^T q_x^k = \psi_k;$$

$$2.2 \text{ Compute } \rho_k = \sqrt{1 - (q_x^k)^T q_x^k};$$

2.3 Determine an orthogonal Givens rotation $G_i, (i = n, n-1, \dots, k)$ of order $n+1$ so that

$$G_k \cdots G_{n-1} G_n \begin{pmatrix} q_x^k \\ \rho_k \end{pmatrix} = \begin{pmatrix} 0_{n-v}^T \\ 1 \end{pmatrix}$$

$$2.4 \text{ Compute } G_k \cdots G_{n-1} G_n \begin{pmatrix} R_k \\ 0 \end{pmatrix} = \begin{pmatrix} R_{k+1} \\ \psi_k \end{pmatrix};$$

(그림 4) PGD 기법
(Fig. 4) PGD algorithm

(그림 4)에서 ψ_k 를 rank 1 downdating하는데 필요한 회전변환의 횟수는 $n-k+1$ 이므로 R_Z 를 downdating 하기 위하여 필요한 Givens rotation의 횟수는

$$\sum_{k=1}^p (n-k+1) = np - \frac{p(p-1)}{2}.$$

3.3 PHD (Preprocessed HD)

R_Z 의 k 번째 행 ψ_k 를 rank 1 downdating하기 위한 hyperbolic rotation을 V_k 라고 하면,

$$V_k \begin{pmatrix} R_k \\ \psi_k \end{pmatrix} = \begin{pmatrix} R_{k+1} \\ 0 \end{pmatrix}, \quad V_k = H_n H_{n-1} \cdots H_k.$$

여기서 H_j 는 ψ_k 의 j 번째 원소를 0으로 만들면서 R_k 의 j 번째 대각원소를 갱신하는 hyperbolic rotation이다. 즉, ψ_k 를 downdating하기 위하여 필요한 hyperbolic rotation의 횟수가 $n-k+1$ 회이므로 R_Z 를 downdating하는 데 필요한 hyperbolic rotation의 횟수는

$$\sum_{k=1}^p (n-k+1) = np - \frac{p^2-p}{2}$$

이다. PHD에 의한 downdating을 정리하면 (그림 5)와 같다.

1. Preprocess ($Z^T \alpha$);
2. for $k=1, 2, \dots, \min(p, n)$
 - 2.1 Construct and apply a sequence of hyperbolic plane rotation matrices H_i , ($i=k, k+1, \dots, n$) of order $n+1$ so that $H_n \dots H_{k+1} H_k \begin{pmatrix} R_k \\ \psi_k \end{pmatrix} = \begin{pmatrix} R_{k+1} \\ 0 \end{pmatrix}$,

$$+1 \text{ so that } H_n \dots H_{k+1} H_k \begin{pmatrix} R_k \\ \psi_k \end{pmatrix} = \begin{pmatrix} R_{k+1} \\ 0 \end{pmatrix},$$

where H_i zeros the i -th element of the current modified vector ψ_k ;

(그림 5) PHD 기법
(Fig. 5) PHD algorithm

4. 알고리즘의 비교 및 분석

$n \times n$ 행렬 R 과 $p \times n$ 행렬 Z^T 에 대해 각각 GD와 HD 알고리즘을 이용하여 downdating하는데 필요한 시간복잡도 및 전처리 과정을 거친 PGD와 PHD 알고리즘의 시간복잡도는 <표 1>과 같다. <표 1>에서 전처리 알고리즘의 복잡도를 두 가지로 구분한 이유는 $Z^T = Q_Z R_Z$ 에서 R_Z 를 계산할 때, p 의 범위에 따라 상이한 형태의 상삼각행렬이 생성되므로 각각의 경우별로 시간복잡도의 계산이 다르기 때문이다. 즉, $p \geq n$ 인 경우에는 완전 상삼각행렬 R_Z 를 얻을 수 있으나 $p < n$ 인 경우에는 불완전 상삼각행렬을 얻게 된다. <표 1>의 시간복잡도는 수식의 간소화를 위하여 1차항 및 상수항을 생략한 표현으로 <표 1>로부터 관측행렬의 행의 수(p)에 따른 시간복잡도의 크기는

$$PHD < PGD < HD < GD$$

<표 1> 시간복잡도의 비교
<Table 1> Time complexity comparisons

| 알고리즘 | time complexity | |
|------|--------------------|--|
| | w/o preprocessing | with preprocessing |
| GD | $\frac{5}{2} pn^2$ | $\begin{cases} pn^2 + \frac{5}{6} n^3 & \text{if } p \geq n \\ \frac{5}{2} pn^2 + \frac{1}{3} p^3 - np^2 & \text{otherwise} \end{cases}$ |
| HD | $2pn^2$ | $\begin{cases} pn^2 + \frac{1}{3} n^3 & \text{if } p \geq n \\ 2pn^2 + \frac{1}{3} p^3 - np^2 & \text{otherwise} \end{cases}$ |

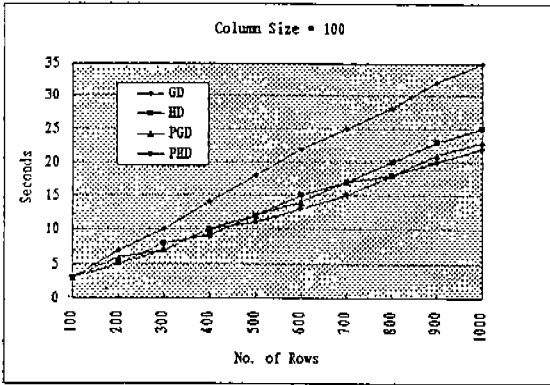
임을 알 수 있다.

이론적인 시간복잡도의 정확성을 규명하기 위하여 Sun SPARC/2 시스템(메모리 16M byte)에서 관측행렬의 크기를 변화시키면서 GD 및 HD 기법과 본 논문에서 제안한 PGD 및 PHD 기법을 이용한 벤치마크 테스트를 수행하였다. 실험 결과는 (그림 6)과 같다. (그림 6) a)는 관측행렬의 열의 크기(n)가 100일 때 행의 크기(p)를 100에서 1,000까지 변화시키면서 계산에 소요되는 시간을 측정한 것이다. 그림에서 알 수 있듯이, PHD에 의한 경우가 PGD, GD 및 HD에 비하여 계산에 소요된 시간이 적으며, 행의 크기가 증가함에 따라 성능 향상이 뚜렷함을 알 수 있다. (그림 6) b)는 열의 크기가 200인 경우에 대한 실험 결과로 열의 크기가 100인 경우와 마찬가지로 PHD기법이 PGD, HD 또는 GD 기법에 비하여 성능이 우수함을 알 수 있다.

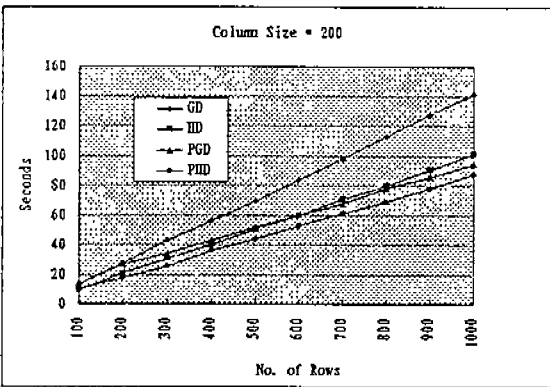
본 논문에서 제안한 기법에서 적용한 전처리 과정이 기존의 알고리즘에 미치는 영향의 정도를 비교하기 위하여 성능향상률(performance improvement rate)을 다음과 같이 정의하였다. 즉, 성능향상률

$$\psi_{PHD} \equiv \frac{t_{HD}}{t_{PHD}}, \quad \psi_{PGD} \equiv \frac{t_{GD}}{t_{PGD}} \quad (12)$$

여기서 t_{PHD} 와 t_{HD} 는 각각 PHD 및 HD 기법에 의하여 다행관측행렬을 downdating하는데 걸리는 시간이며, t_{PGD} 와 t_{GD} 는 각각 같은 크기의 다행관측행렬을

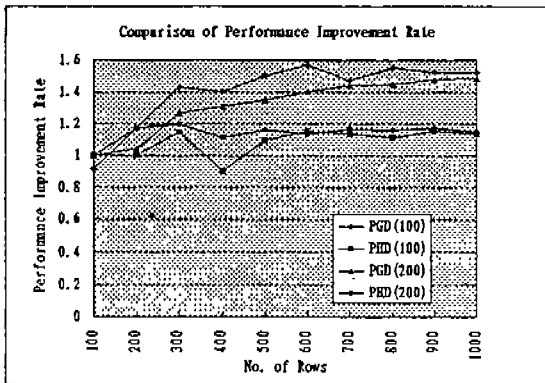


(a) $n = 100$



(b) $n = 200$

(그림 6) 다행관측행렬의 downdating에 소요된 계산 시간.
(Fig. 6) Computation times for downdating multiple rows



(그림 7) 성능향상률 비교.
(Fig. 7) Performance improvement rates

PGD 및 GD 기법을 이용하여 downdating하는데 걸리는 시간이다.

(그림 7)은 식(12)를 토대로 ϕ_{PHD} 와 ϕ_{PGD} 를 계산하여 그래프로 나타낸 것이다. 열의 크기가 100이거나 200인 경우에 관계없이 항상 $\phi_{PGD} \geq \phi_{PHD}$ 임을 알 수 있으며, 따라서 다행관측행렬의 downdating에서 전처리 과정의 효과는 GD 기법의 경우가 HD 기법의 경우보다 큰 것을 알 수 있다.

5. 결 론

본 논문에서는 신호처리 시스템에 적용할 수 있는 관측치가 연속적으로 입력되는 시스템에서 최소자승해를 구하는 downdating 알고리즘을 연구하였다. 기존의 downdating 방법으로는 Givens rotation을 이용한 GD 기법과 hyperbolic rotation을 이용한 HD 기법이 있으며, 각각을 구현하는 데 필요한 실수 연산의 횟수는 $\frac{5}{2}pn^2$ 및 $2pn^2$ 이다. 이에 비하여 본 논문에서 제안한 PGD 및 PHD 알고리즘은 관측치 행렬 Z^T 를 Householder reflection을 이용하여 QR-분할하는 전처리 과정을 수행하고, 그 결과로 계산된 Z^T 의 partial Cholesky factor의 각 행을 기존의 GD 또는 HD 기법을 적용하여 rank 1 downdating하는 두 가지 단계로 구성된다. 따라서 PGD 기법이나 PHD 기법은 기존의 GD 기법이나 HD 기법에 비하여 전처리 과정을 수행하여야 하는 단점이 있으나, rank 1 downdating에 소요되는 계산 시간이 단축되므로 전체적으로 시간복잡도가 개선된다.

연구 결과, PGD 및 PHD 알고리즘의 시간복잡도는 $p \geq n$ 인 경우 각각 $pn^2 + \frac{5}{6}n^3$ 및 $pn^2 + \frac{1}{3}n^3$ 이므로 전처리 과정을 수행하지 않는 기존의 GD 및 HD 기법의 시간복잡도에 비하여 개선되었음을 알 수 있다. 또한, Sun SPARC/2 시스템에서 여러 가지 크기의 관측행렬을 대상으로 하는 실험을 통하여 계산에 소요되는 시간을 측정 한 결과도 이론적인 결과와 일치하는 것을 확인하였다. 실험 결과, PHD 기법을 이용한 다행관측행렬의 downdating이 PGD 기법을 이용한 경우에 비하여 우수함을 알 수 있었으며, 전처리 과정이 알고리즘에 미치는 영향은 PGD기법이 PHD 기법에 비하여 큰 것을 알 수 있었다.

참 고 문 헌

[1] S. T. Alexander, 'Adaptive Signal Processing,' Springer-Verlag, New York, 1986.

[2] C. -H. Lee, Sukil Kim, "A fast least-squares algorithm for multiple-row downdatings," Trans. KIPS, Vol. 2, No. 1, pp. 55-65, Jan. 1995.

[3] G. H. Golub, 'Matrix decompositions and statistical calculations, in Statistical Computation,' R. C. Milton and J. A. Nelder, eds., Academic Press, 1969, pp. 365-395.

[4] P. E. Gill, G. H. Golub, W. Murray, and M. A. Saunders, "Methods for modifying matrix factorizations," Math. Comput. Vol. 28, pp. 505-535, 1974.

[5] A. W. Bojanczyk, R. P. Brent, P. Van Dooren, and F. R. de Hoog, "A note on downdating the Cholesky factorization," SIAM Jour. Sci. Statist. Comput. Vol. 8, No. 3, pp. 201-221, Mar. 1987.

[6] A. Bjork, H. Park, and L. Elden, "Accurate downdating of least squares solutions," SIAM Jour. Matrix Anal. Appl., Vol. 15, No. 2, pp. 549-568, April 1994.

[7] S. T. Alexander, C. T. Pan, and R. J. Plemmons, "Analysis of a recursive least squares hyperbolic rotations algorithm for signal processing," Linear Algebra Appl., Vol. 98, pp. 3-40, 1988.

[8] C. S. Henkel, M. T. Heath, and R. J. Plemmons, "Cholesky downdating on a hypercube," In Fox. G.(Ed.), Proc. Third Conference on Hypercube Concurrent Comput. Appl., ACM Press, New York, NY., pp. 1592-1598, 1989.

[9] G. W. Stewart, "The effects of rounding error on an algorithm for downdating a Cholesky factorization," Jour. Inst. Math. Appl., Vol. 23, pp. 203-213, 1979.

[10] C. Bischof and C. F. Van Loan, "The WY representation for products of Householder matrices," SIAM Jour. Sci. Statist. Comput. Vol. 8, No. 1, s2-s13, 1987. 1.

[11] M. A. Saunders, "Large-scale linear program-

ming using the Cholesky factorization," Tech. Report CS252, Computer Science Dept., Stanford University, Stanford, CA, 1972.

[12] G. H. Golub and C. F. Van Loan, 'Matrix Computations,' Johns Hopkins Univ. Press, Baltimore, MD, 1983.

[13] Sukil. Kim, D. P. Agrawal and R. J. Plemmons, "Least-squares multiple updating algorithms on a hypercube," Jour. Par. and Dist. Computing Vol. 8, pp. 80-88, 1990.

[14] C. H. Bischof, C-T. Pan and P. Tang, "A Cholesky up-and downdating algorithm for systolic and SIMD architectures," SIAM Jour. Sci. Comput., Vol. 14, No. 3, pp. 670-676, May 1993.

[15] A. A. Anda and H. Park, "Fast plane rotations with dynamic scaling," SIAM Jour. Mat. Anal. Appl., Vol. 15, No. 1, pp. 162-174, Jan. 1994.

[16] Sukil Kim and C. -H. Lee, "Parallel multiple-row downdatings on distributed memory multiprocessor systems," KISS, submitted for publication, Dec. 1995.



김 석 일

1975년 서울대학교 전기공학과 졸업(학사)
 1984년 연세대학교 전자계산학(공학석사)
 1989년 North Carolina State University 전기 및 컴퓨터공학(공학박사)

1975년~1990년 국방과학연구소 연구원, 선임연구원
 1990년~현재 충북대학교 자연과학대학 컴퓨터과학과 조교수

관심분야: 병렬처리 컴퓨터 구조, 병렬처리 알고리즘, Supercomputing, Advanced factory automation 등.



이 중 한

1994년 충북대학교 컴퓨터과
학과(학사)
1994년~현재 충북대학교 전자
계산학과 석사과
정
관심분야: 병렬처리 컴퓨터구조
병렬처리 알고리즘.



전 중 남

1981년 연세대학교 전자공학과
공학사
1985년 연세대학교 대학원 공
학석사
1990년 연세대학교 대학원 공
학박사
1986년~1990년 연세대학교 산
업기술 연구소
연구원

1990년~현재 충북대학교 컴퓨터과학과 조교수
관심분야: 컴퓨터구조, 하드웨어 시뮬레이션, 병렬처리